

Fig. 1

2/19

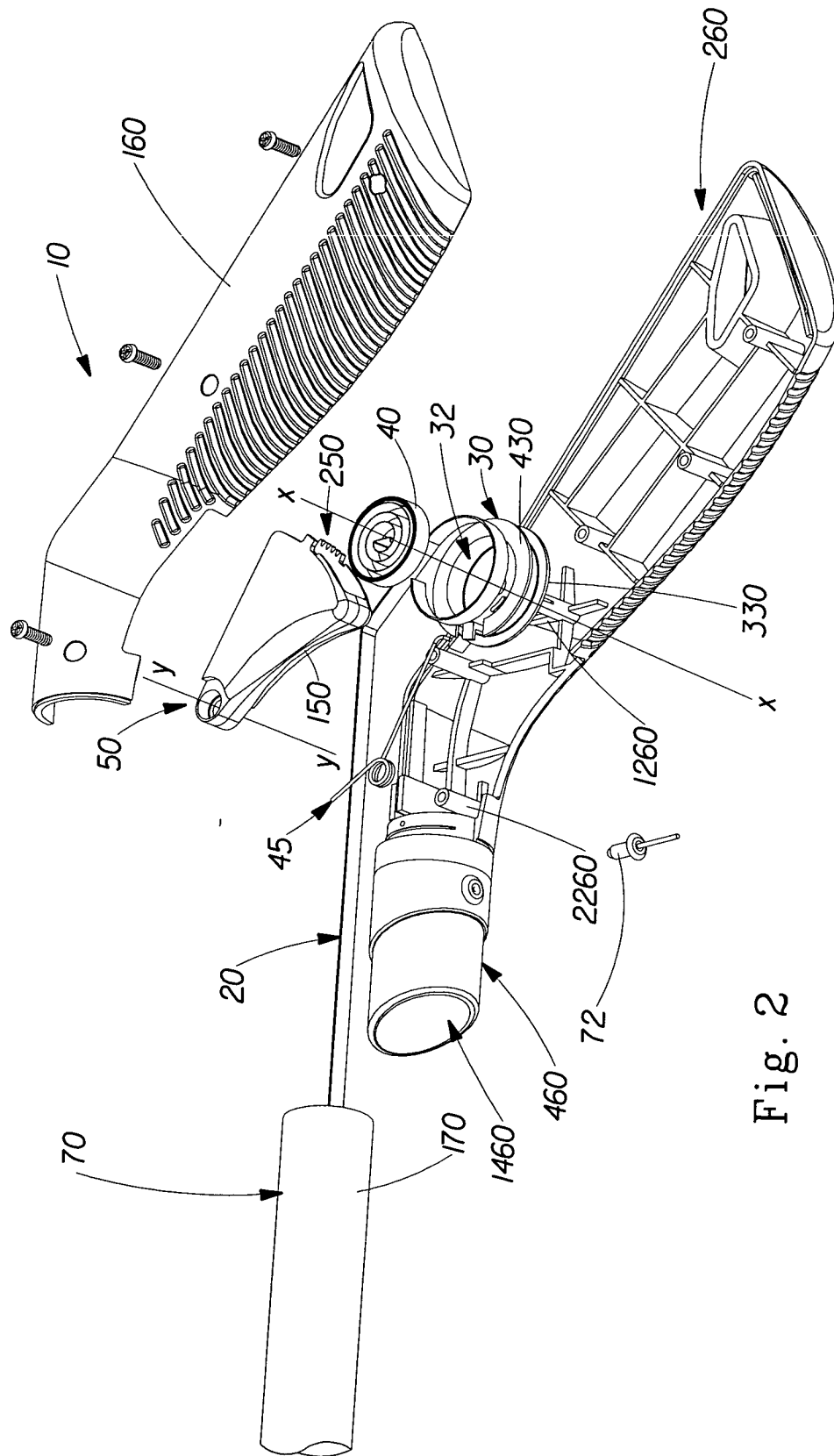


Fig. 2

3/19

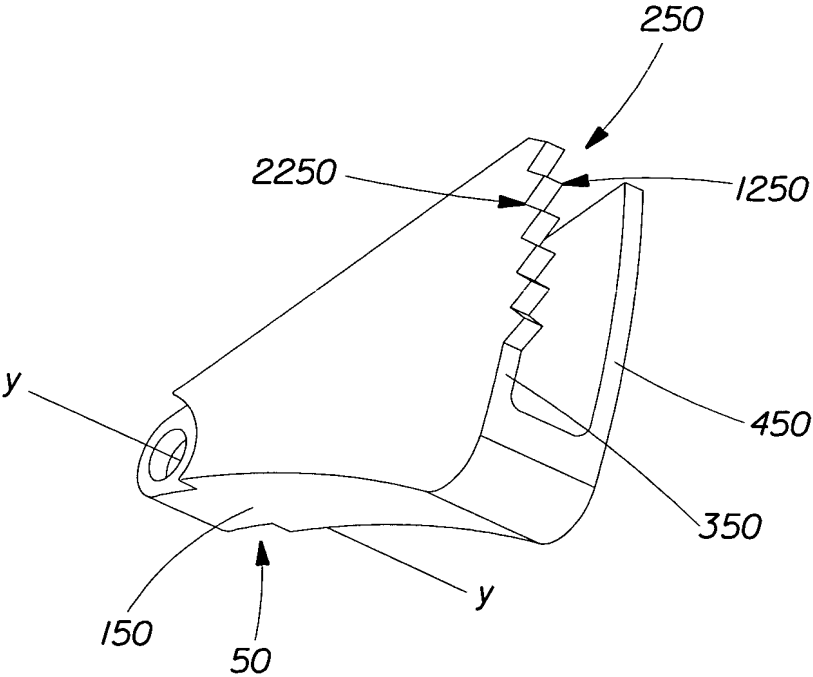


Fig. 3

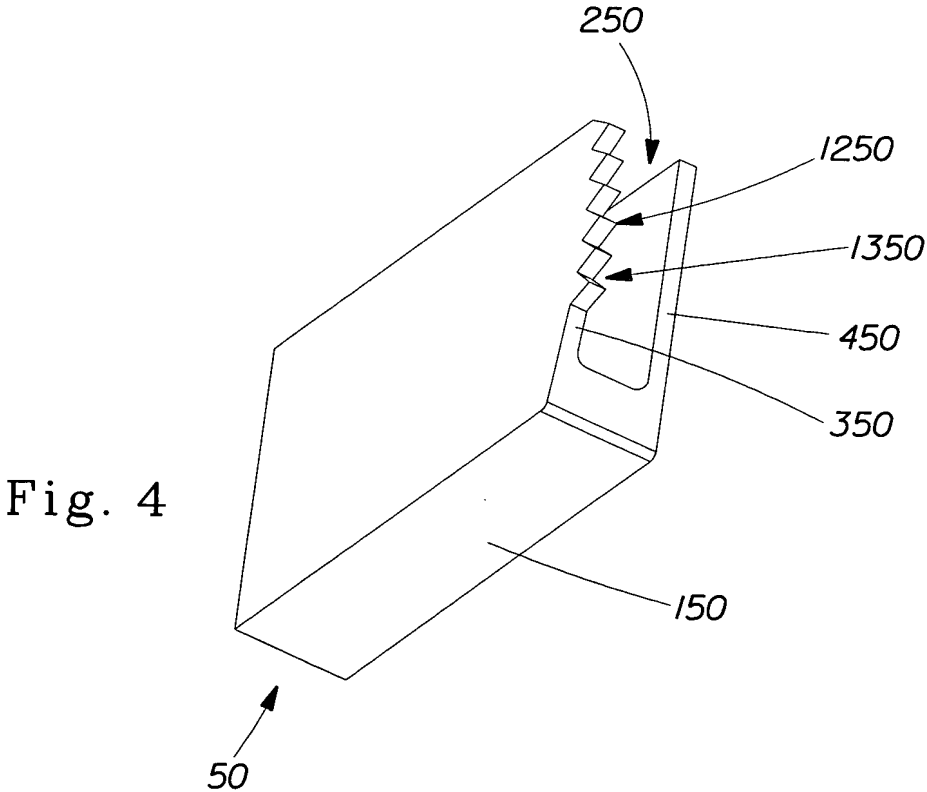


Fig. 4

4/19

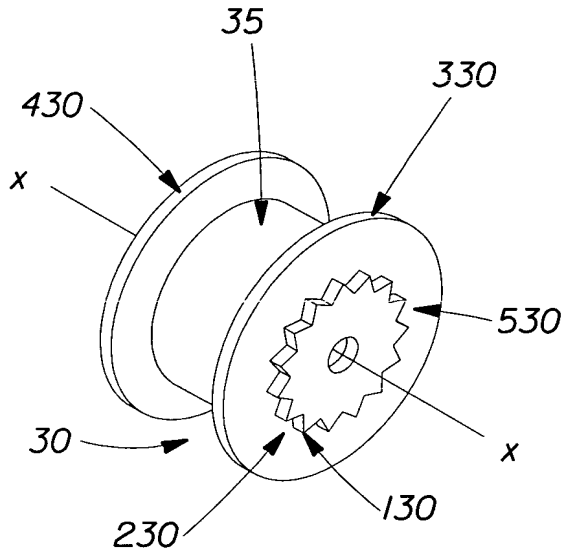


Fig. 5

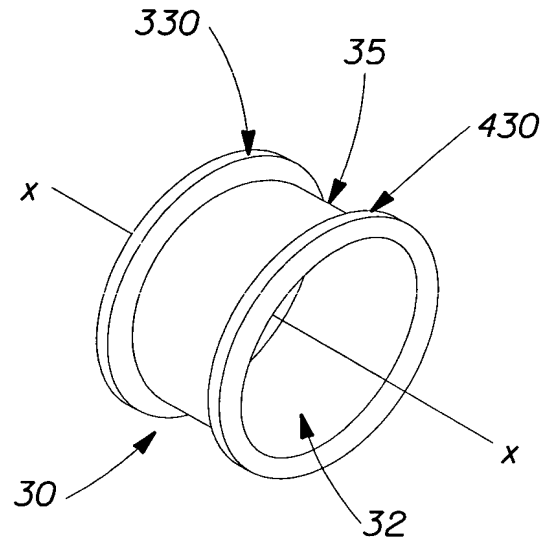


Fig. 6

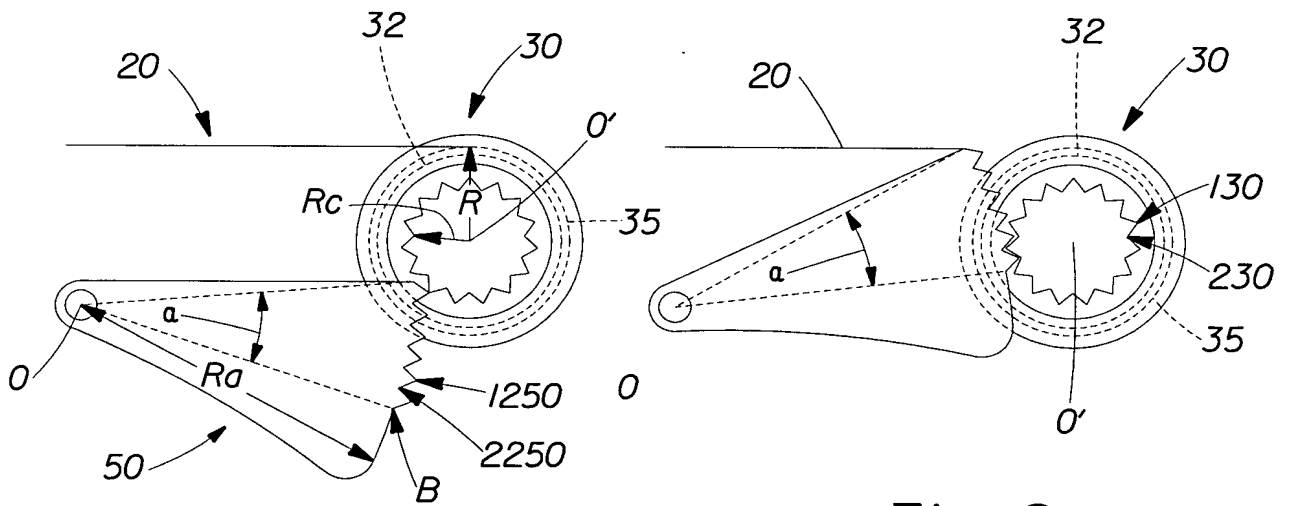


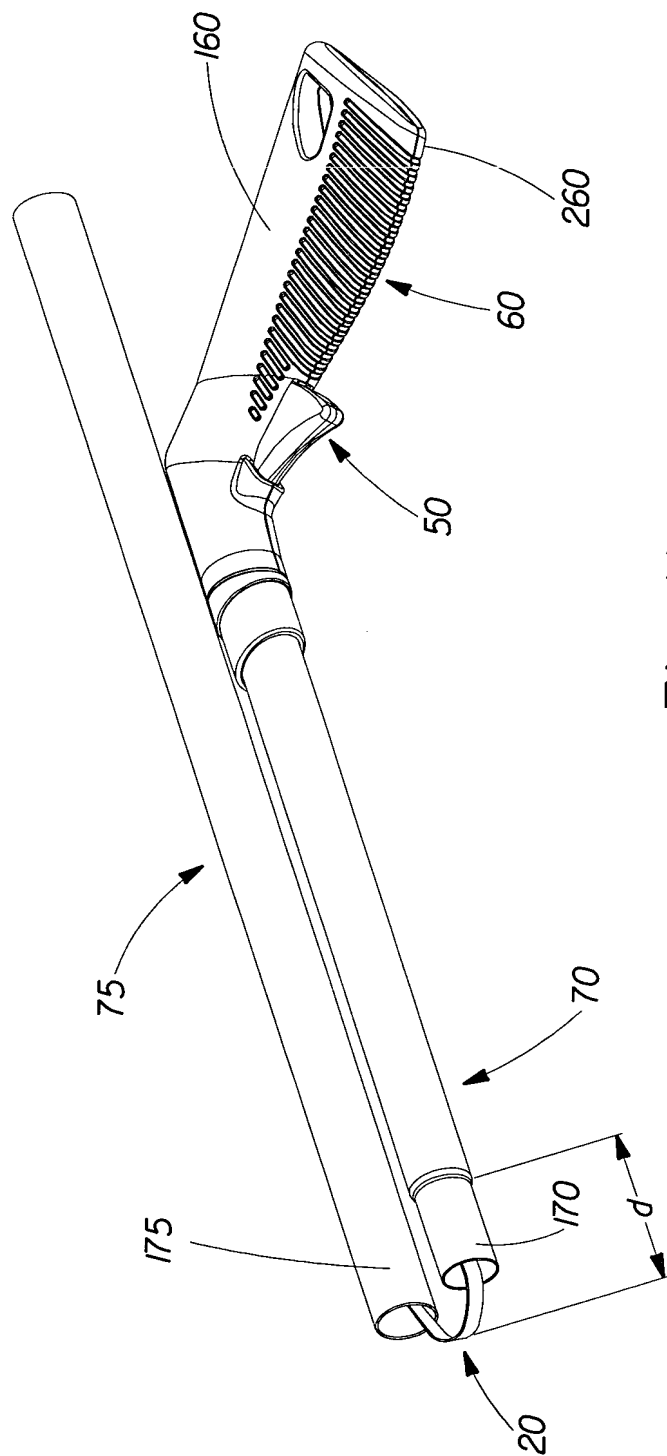
Fig. 7

Fig. 8



Fig. 10

6/19



7/19

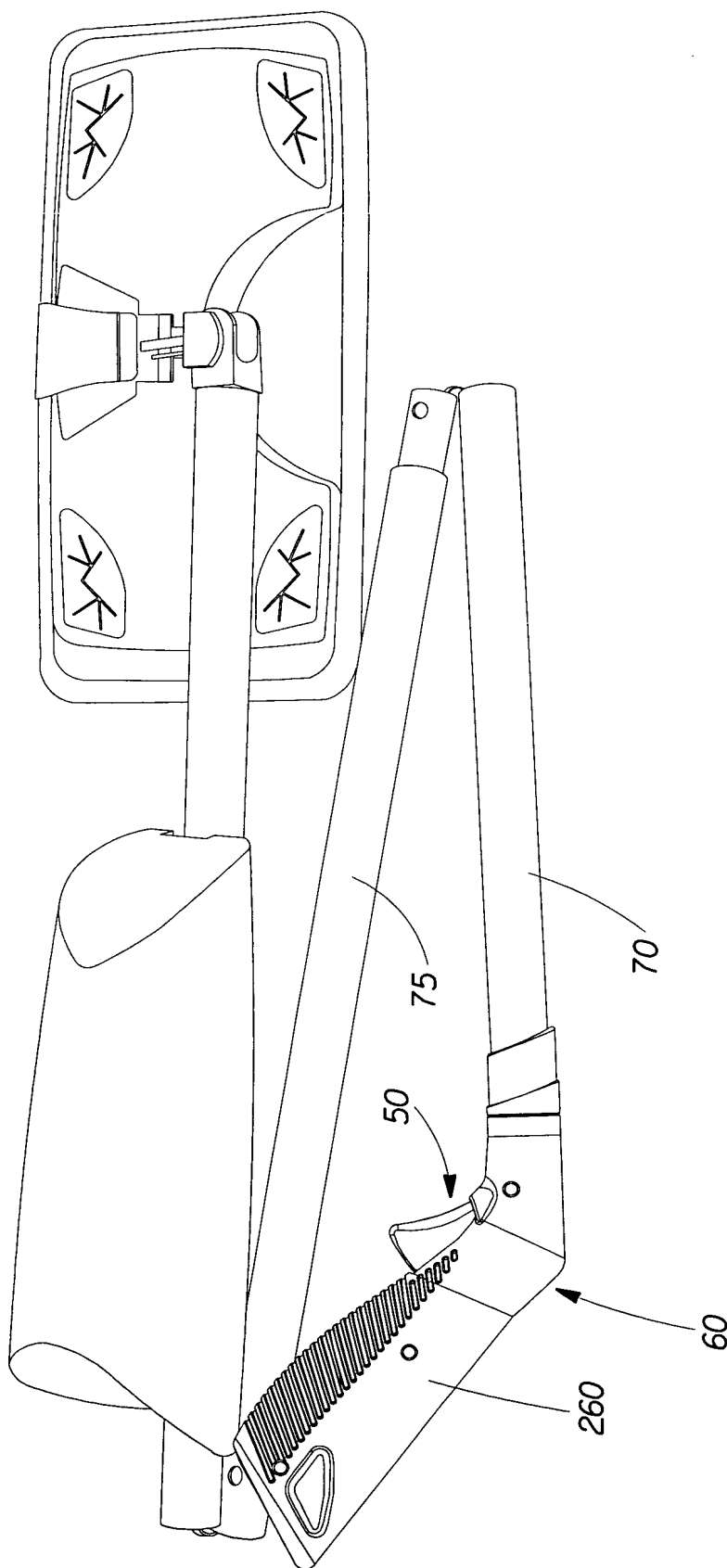


Fig. 11B

8/19

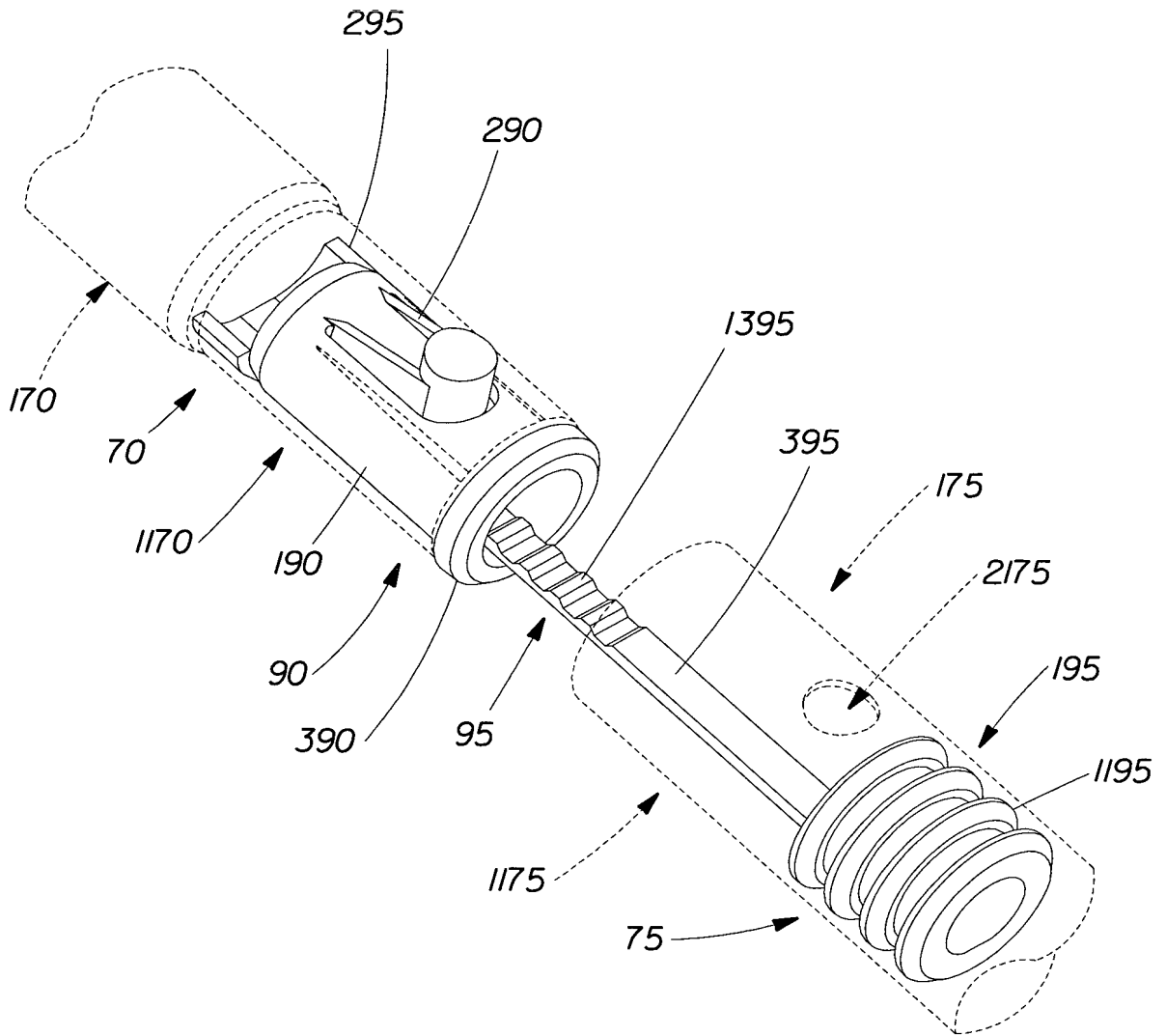
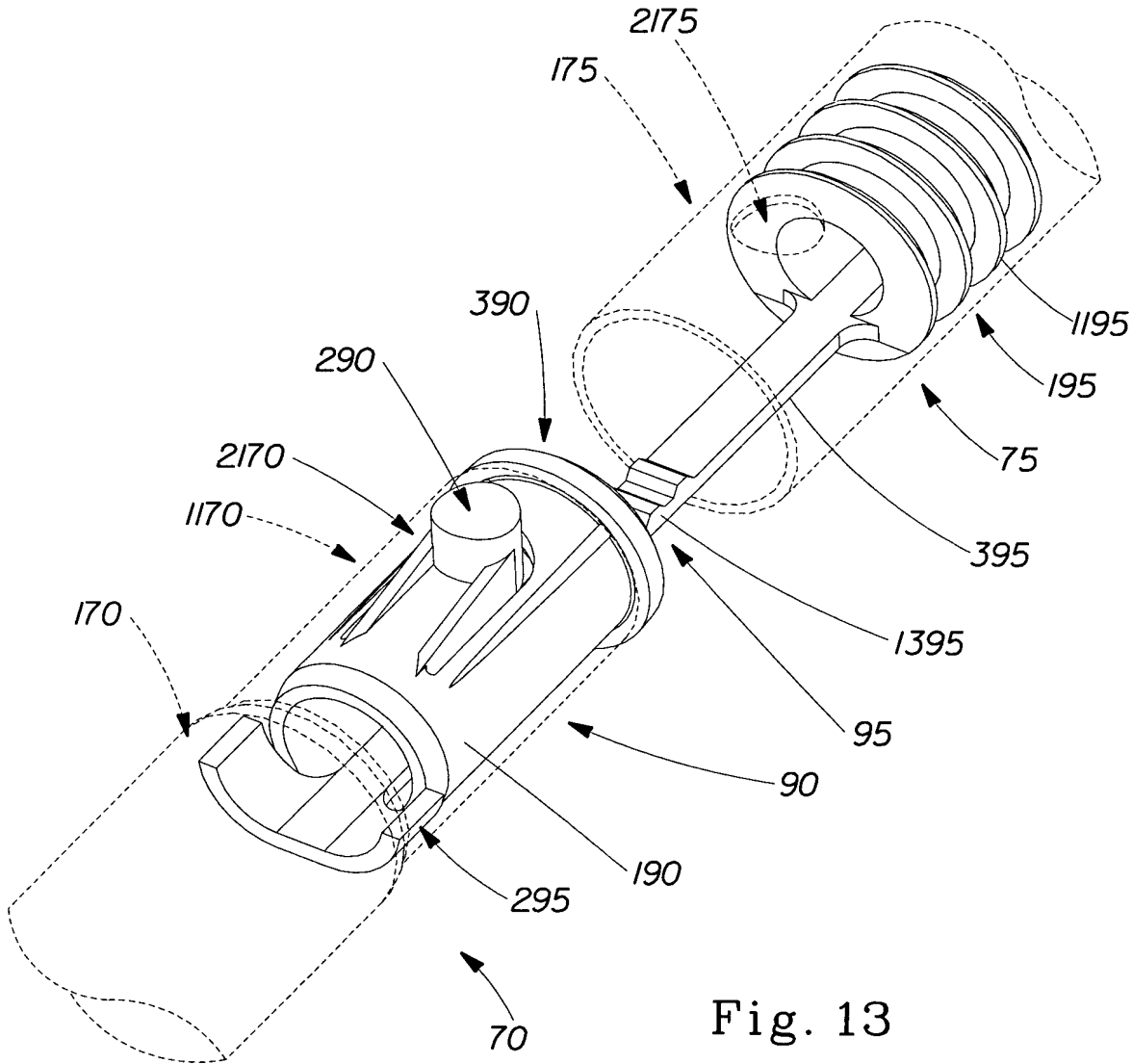


Fig. 12





10/19

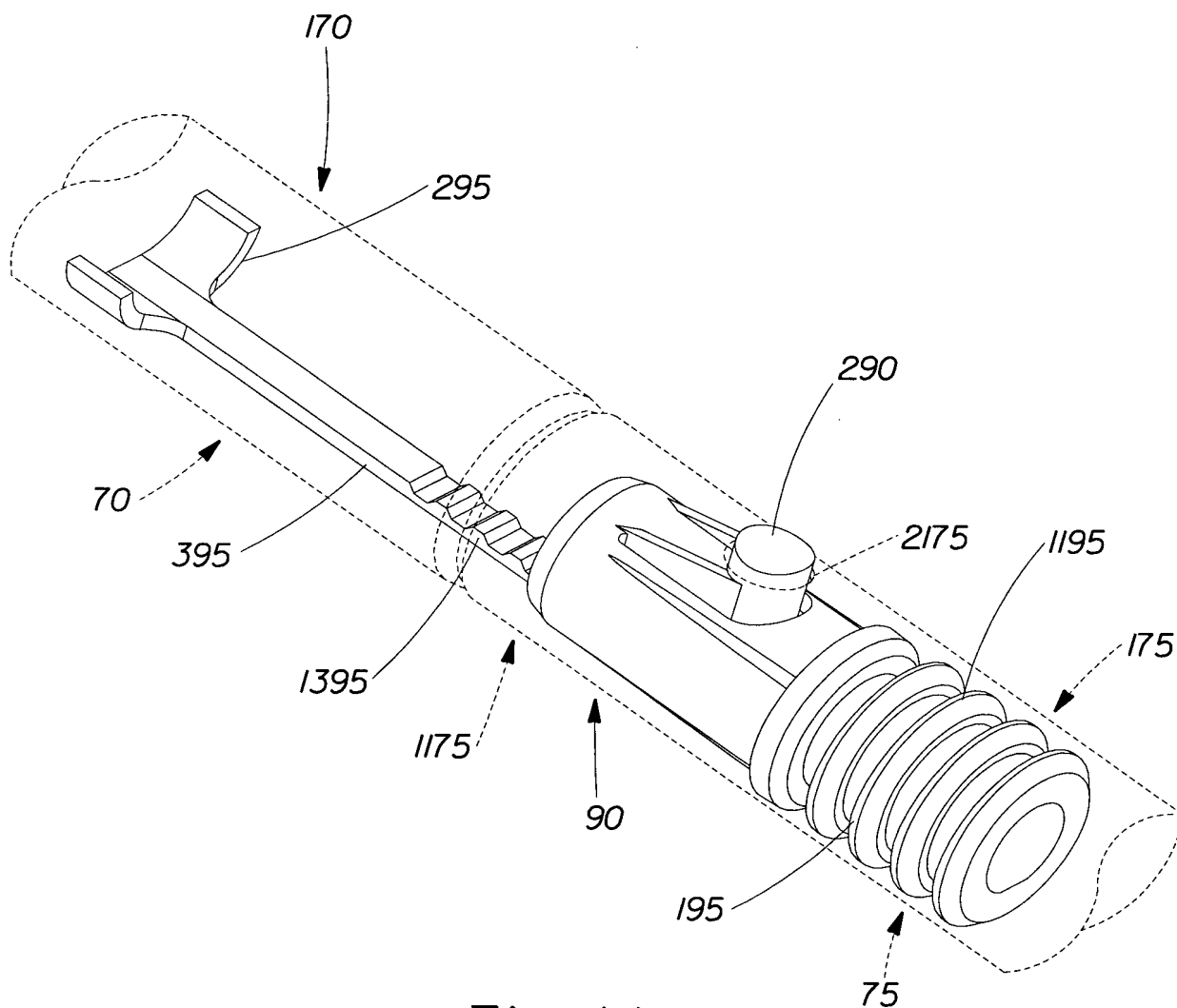


Fig. 14

11/19

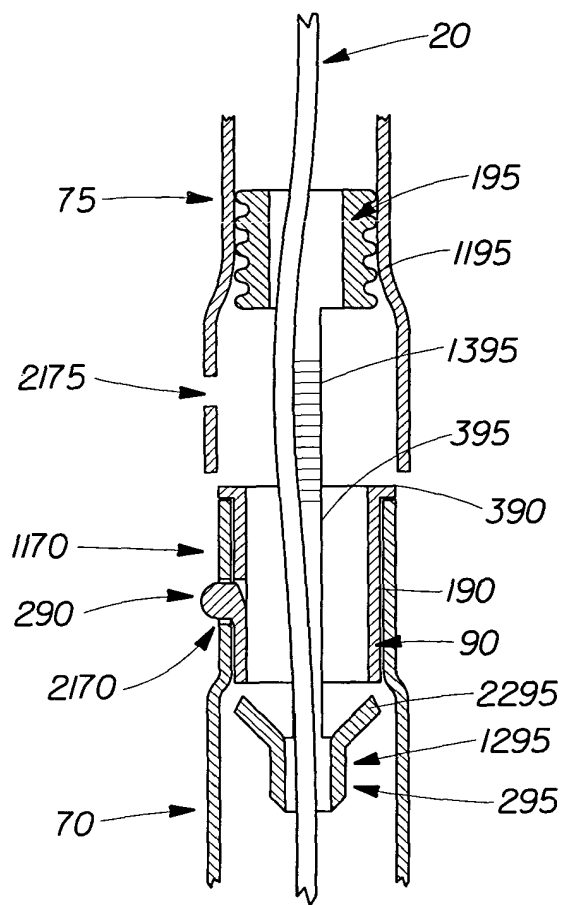


Fig. 15

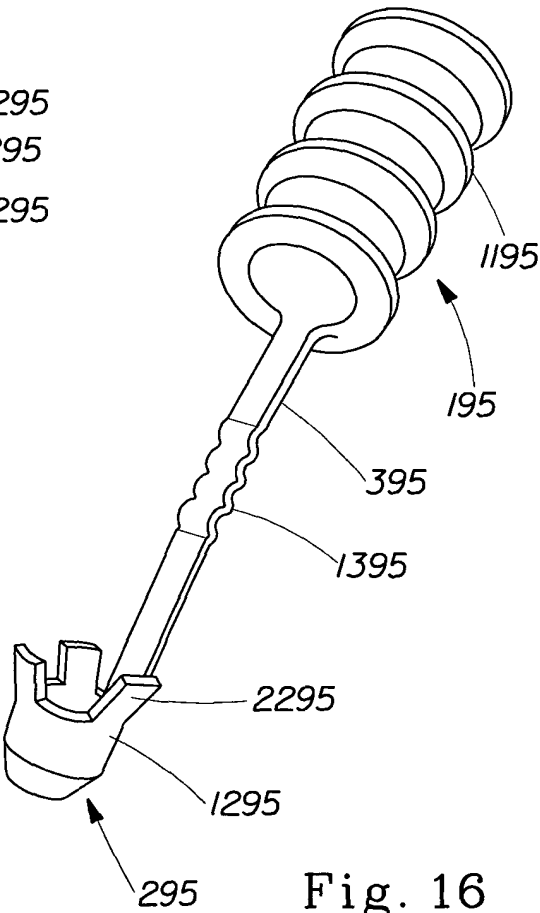


Fig. 16

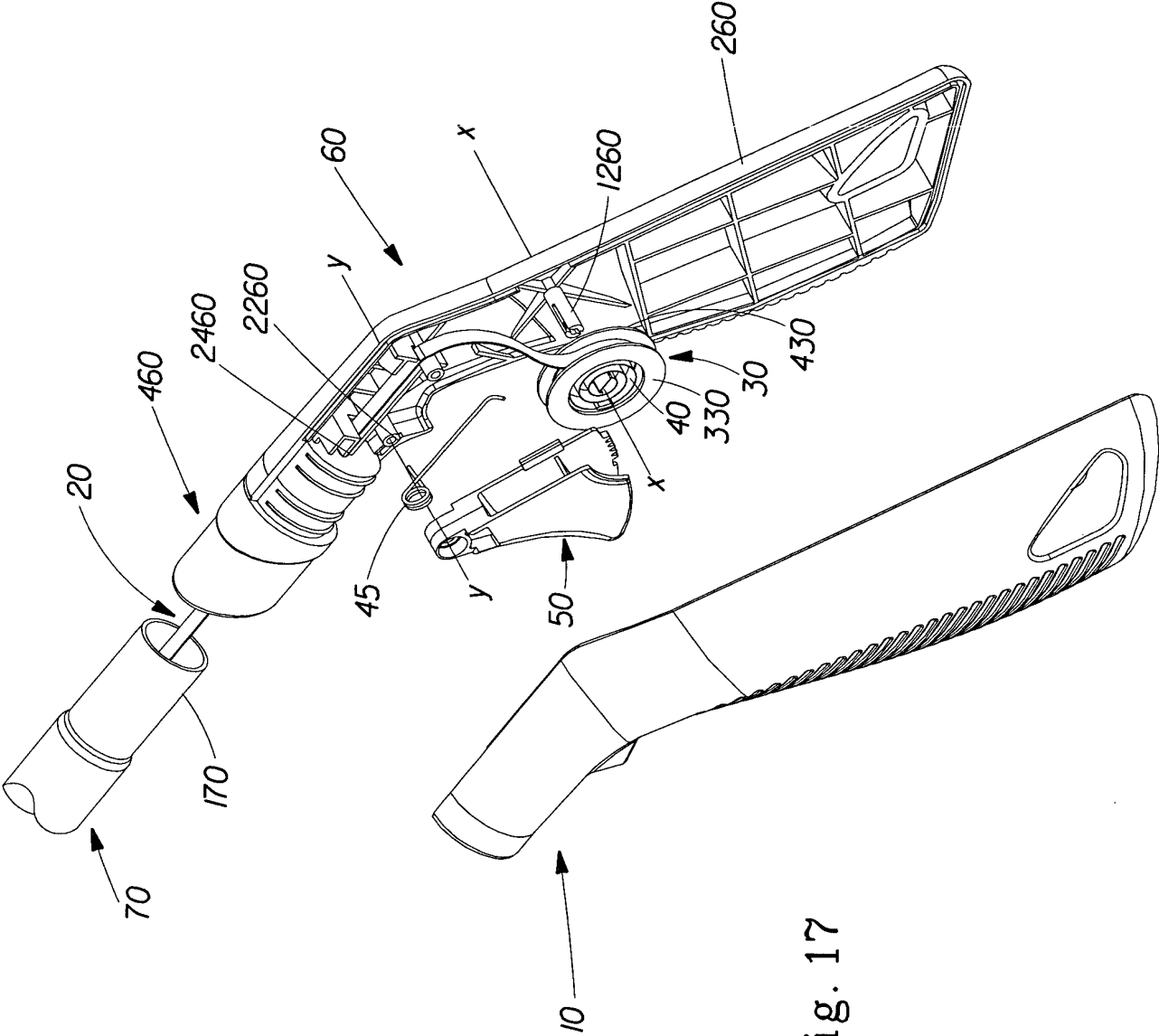


Fig. 17

13/19

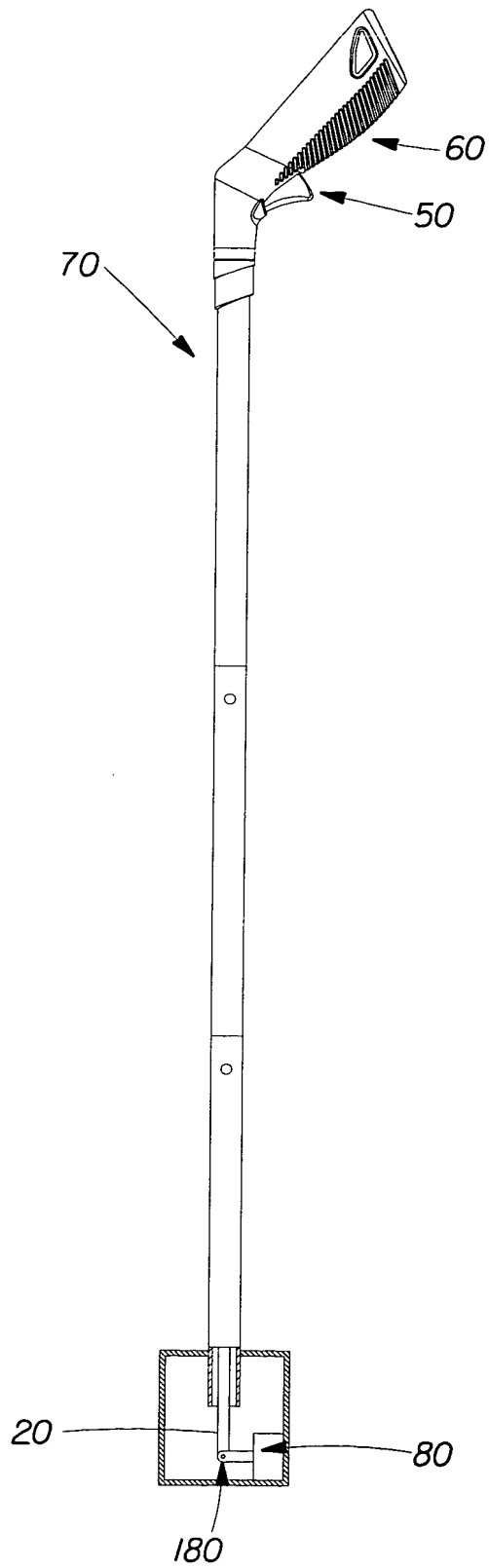


Fig. 18

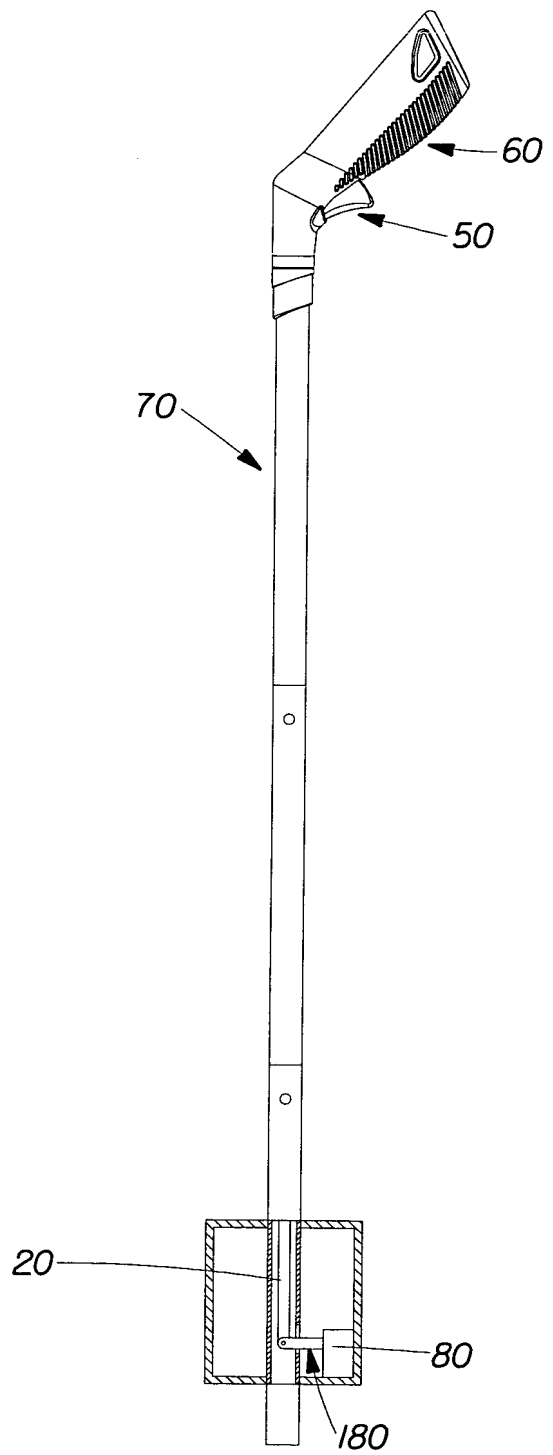


Fig. 19

14/19

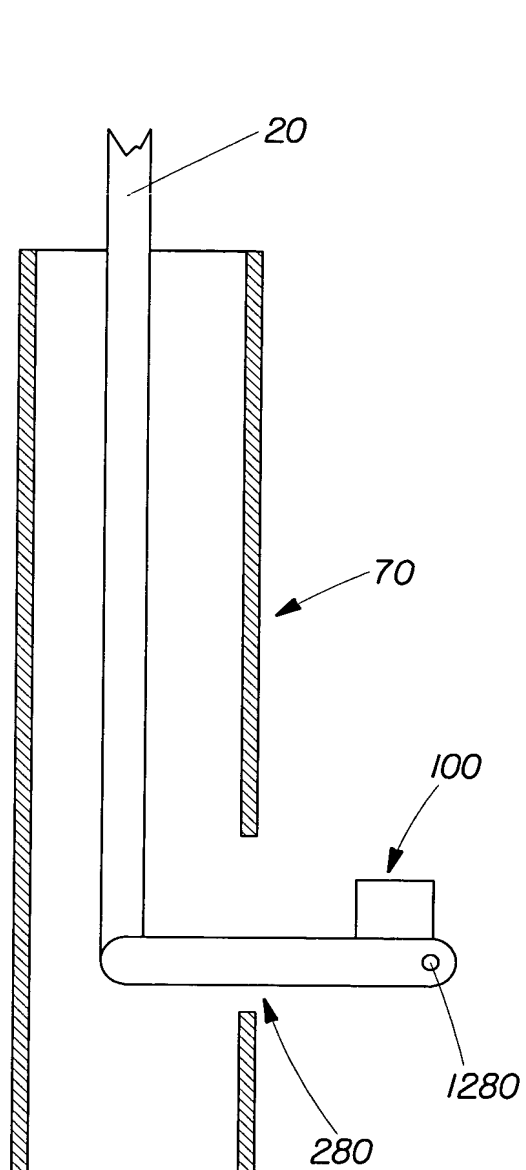


Fig. 20

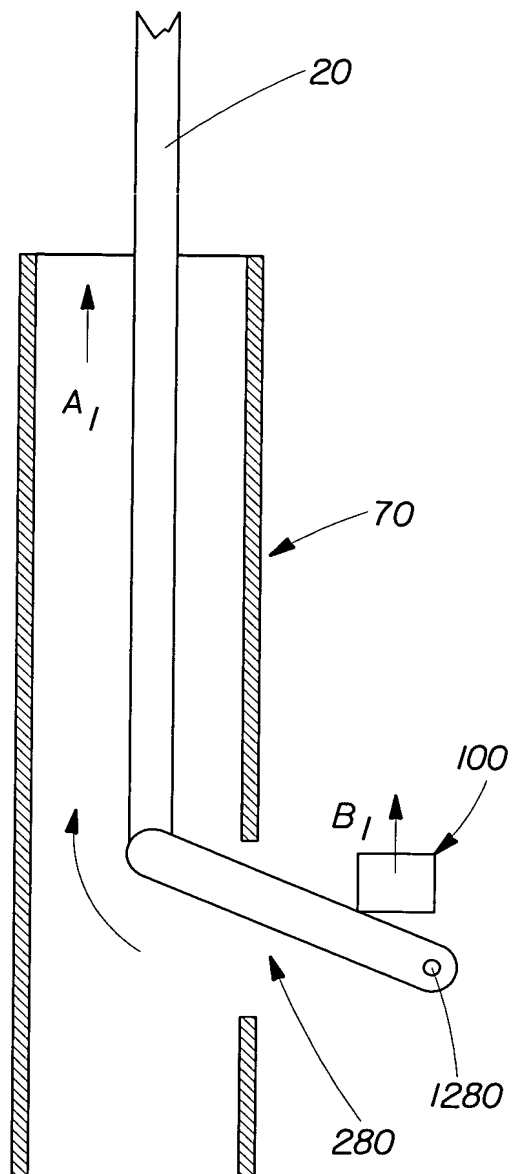


Fig. 21

15/19

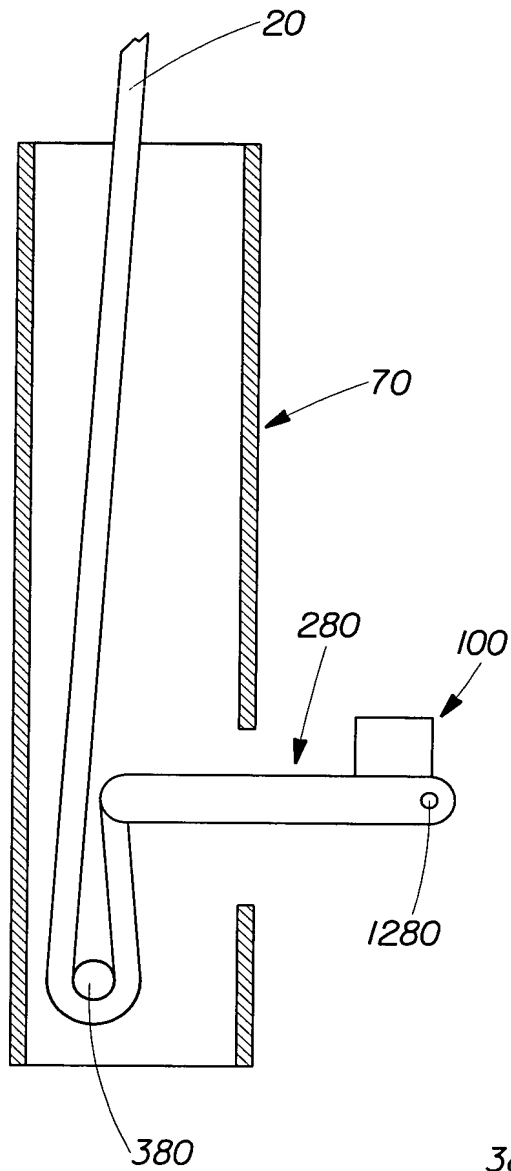


Fig. 22

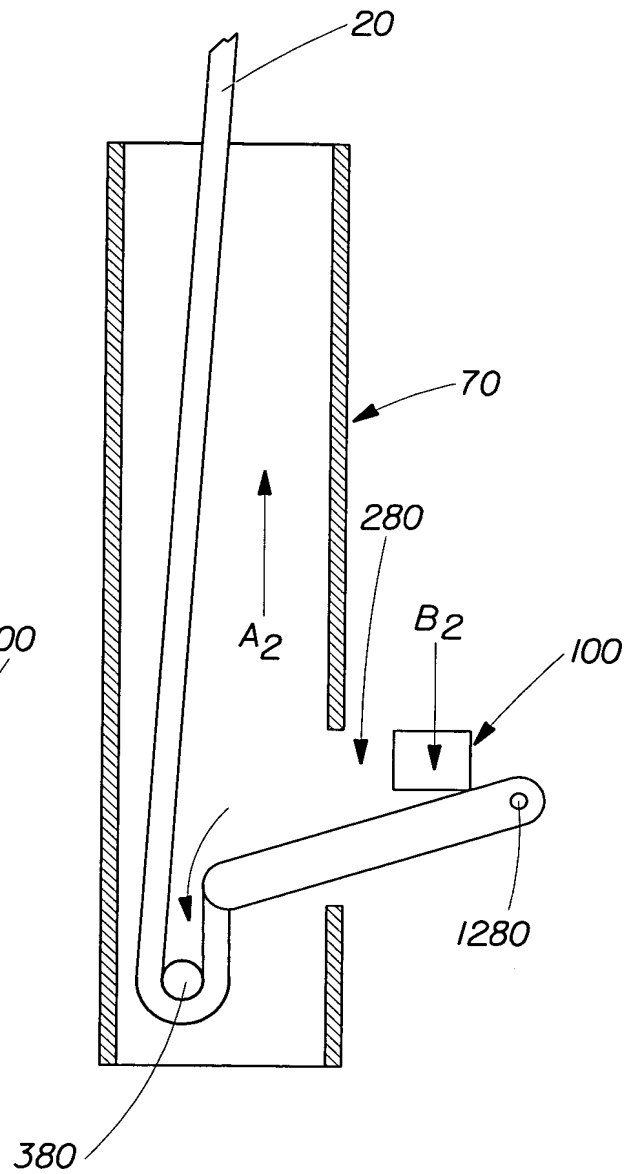


Fig. 23

16/19

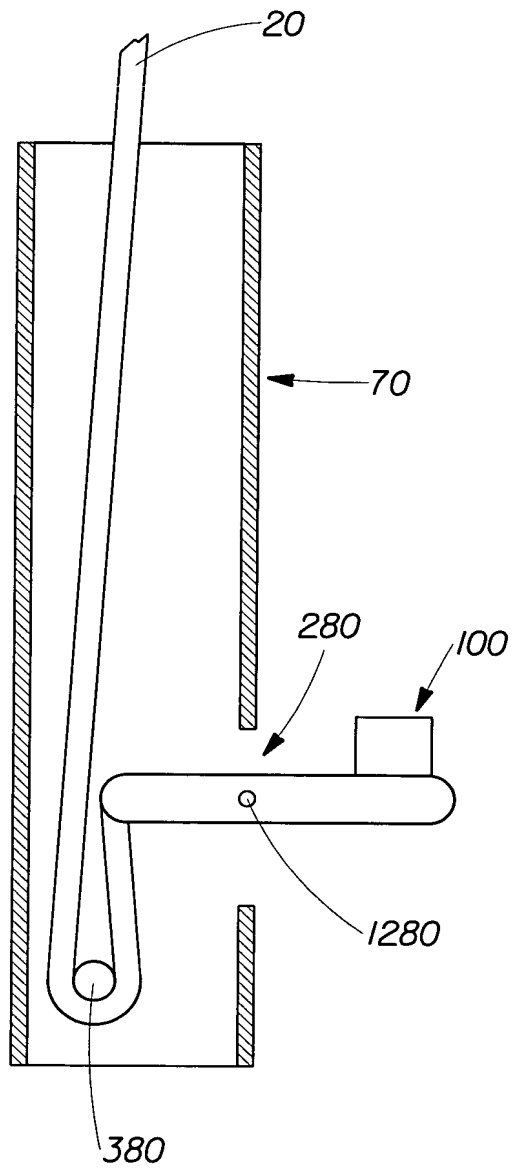


Fig. 24

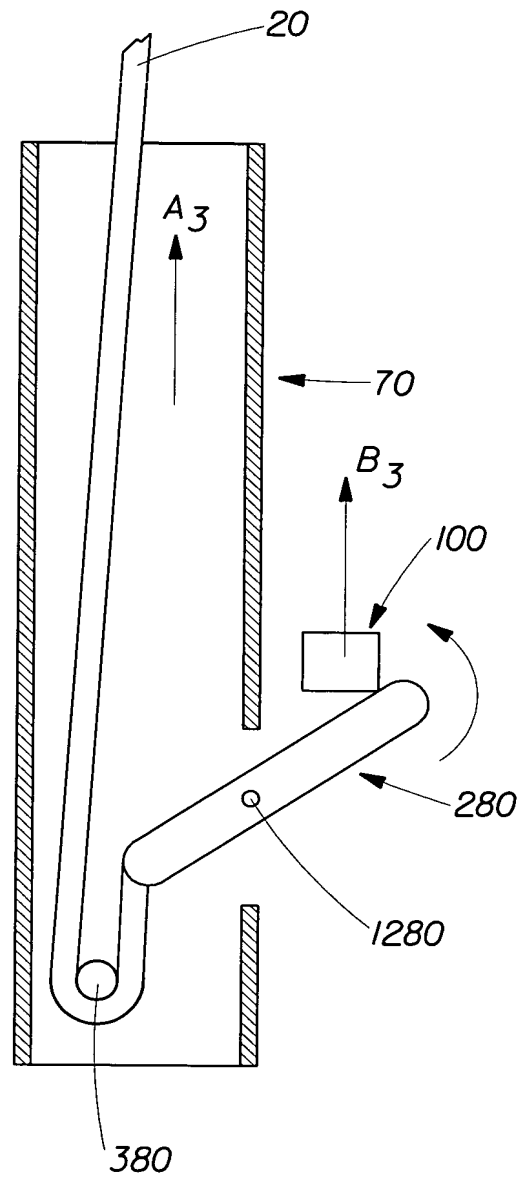


Fig. 25



17/19

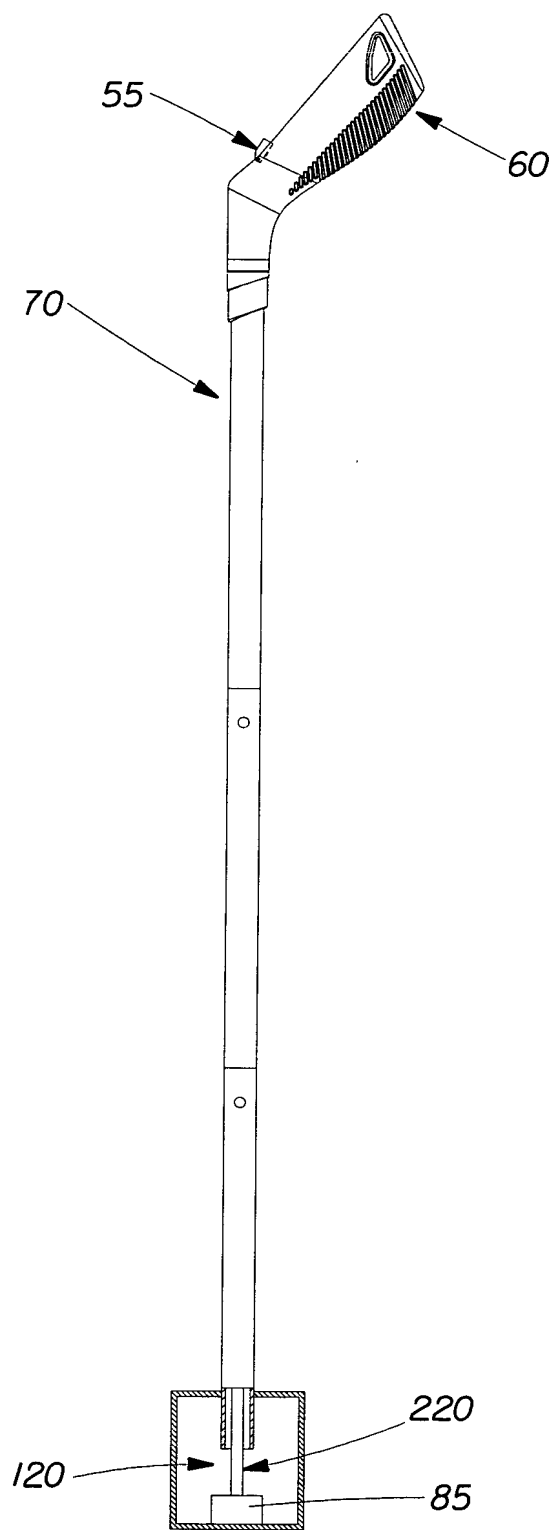


Fig. 26

18/19

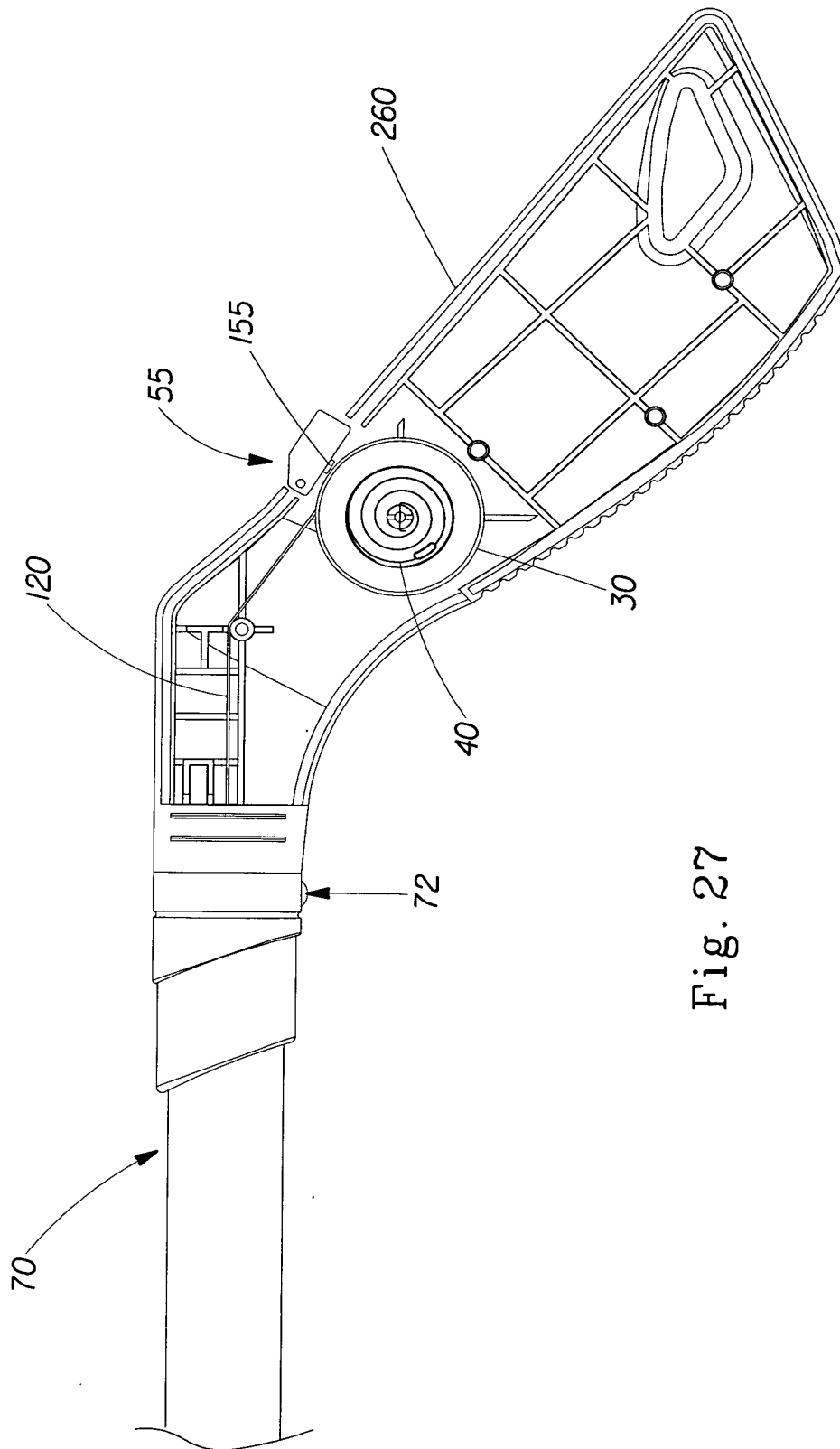


Fig. 27

19/19

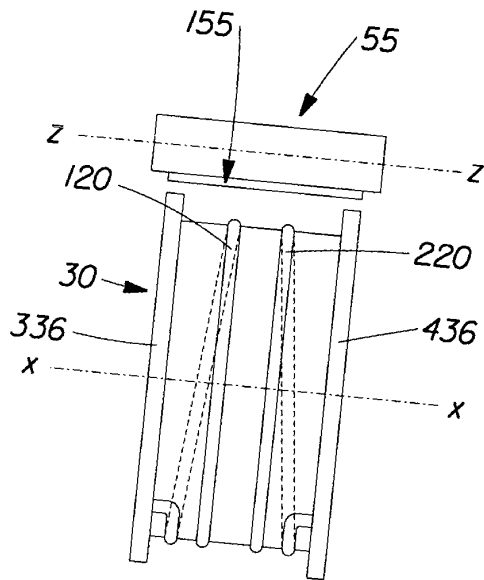


Fig. 28

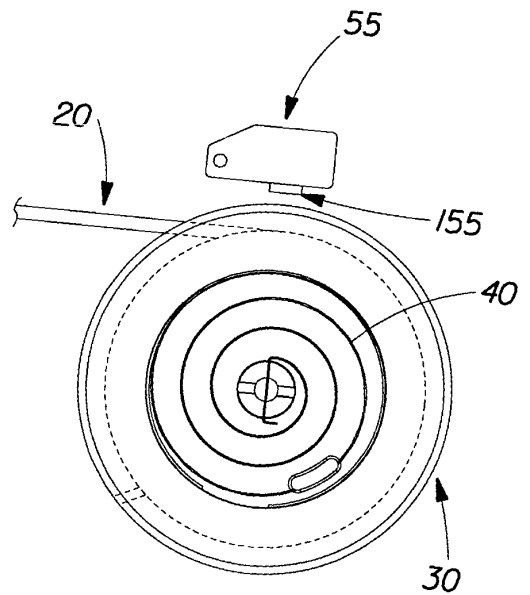


Fig. 29

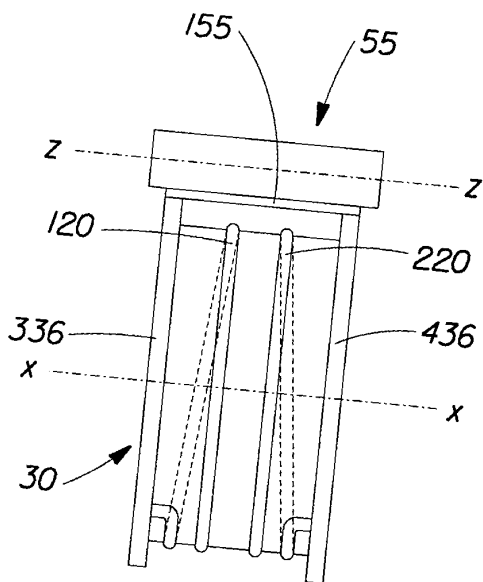


Fig. 30

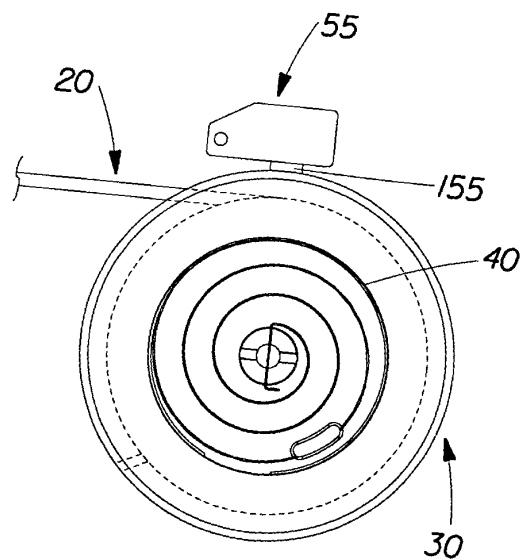


Fig. 31